

Agujero de Gusano en Simetría Hiperbólica

Autor: Daniel Brito, UCV.

Tutor: Ernesto Contreras, USFQ.

Tutor: Ernesto Fuenmayor, UCV.

LA-CoNGA-physics

December 13, 2023



Latin American alliance for
Capacity building in Advanced physics
LA-CoNGA physics



Cofinanciado por el
programa Erasmus+
de la Unión Europea





Motivación.

Agujero de gusano

Espacio-tiempo con simetría hiperbólica

Agujero de gusano en simetría hiperbólica

Resultados

Conclusiones

Referencias

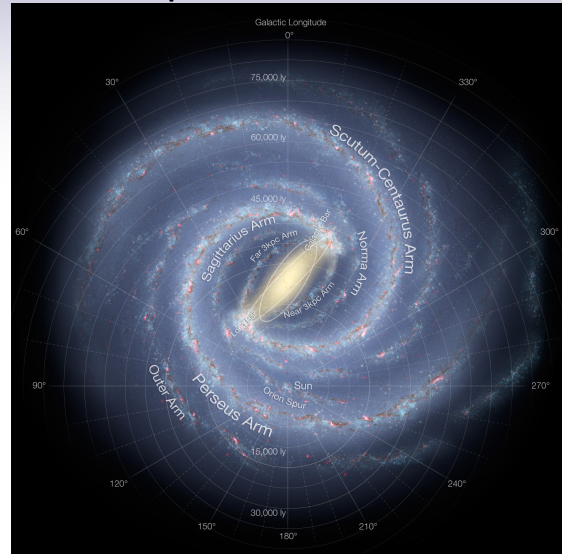
Motivación.



Interés en viajes interestelares.

- ▶ El Universo es muy amplio.
 - ▶ Galaxias.
 - ▶ Estrellas.
- ▶ La mayoría está muy lejos.
- ▶ Viajes interestelares a través del cosmos.
 - ▶ No contamos con tecnología apropiada.
 - ▶ La escalas de tiempo.
- ▶ Agujeros de Gusano pueden ser una alternativa.

Mapa de la Vía Láctea



Agujero de gusano

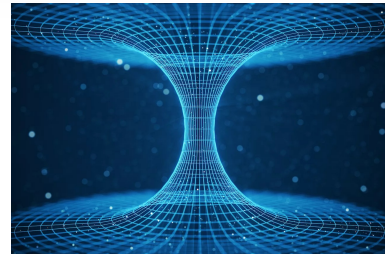


Agujero de gusano Atravesable

Atajo entre dos puntos distantes del espacio tiempo.

Condiciones para agujero de gusano atravesable. ¹

- ▶ Es una solución a las ecuaciones del campo.
- ▶ La garganta conecta dos regiones asintóticamente planas.
- ▶ No debe contener horizontes.
- ▶ Las fuerzas gravitacionales soportables para seres vivos.
- ▶ El tiempo propio del viajero debe ser finito.



¹ Morris, M. S., & Thorne, K. S. (1988). Wormholes in spacetime and their use for interstellar travel: A tool for teaching general relativity. American Journal of Physics, 56(5), 395-412.



Ecuaciones del Campo en simetría esférica.

El elemento de línea:

$$ds^2 = -e^{2\alpha}dt^2 + \frac{dr^2}{1-\beta(r)/r} + r^2d\theta^2 + (r\sin\theta)^2d\phi^2$$

$$T_{\beta}^{\alpha} = \begin{pmatrix} -\rho & 0 & 0 & 0 \\ 0 & P_r & 0 & 0 \\ 0 & 0 & P_{\perp} & 0 \\ 0 & 0 & 0 & P_{\perp} \end{pmatrix}$$

Las ecuaciones del campo $8\pi T_\mu^\nu = G_\mu^\nu$

$$8\pi\rho = \frac{\beta'}{r^2}$$

$$8\pi P_r = \frac{2\alpha'}{r} \left(1 - \frac{\beta}{r}\right) - \frac{\beta}{r^3}$$

$$8\pi P_\perp = \left(1 - \frac{\beta}{r}\right) (\alpha'' + (\alpha')^2) - \frac{\alpha' (r\beta' + \beta - 2r)}{2r^2} - \frac{(r\beta' - \beta)}{2r^3}$$

Rebanada de espacio

$$ds^2 = \frac{dr^2}{1 - \frac{\beta}{r}} + d\phi^2 r^2$$

Superficie en coordenadas cilíndricas

$$ds^2 \equiv dz^2 + dr^2 + d\phi^2 r^2$$

↓

Incrustamiento

$$\frac{dz}{dr} = \pm \sqrt{\frac{1}{\frac{r}{\beta} - 1}}$$



Implicaciones del agujero de gusano.

- 2 ► Incrustando en una superficie con coordenadas cilíndricas

$$\frac{dz}{dr} = \pm \sqrt{\frac{1}{\frac{r}{\beta} - 1}} \Rightarrow \beta(r_0) = r_0$$

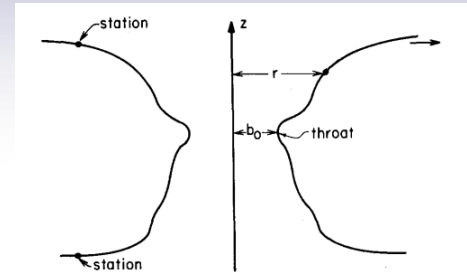
- Considerando la “flaring out condition”

$$\frac{d^2r}{dz^2} = \frac{\beta - r\beta'}{2\beta^2} > 0 \text{ en } r \rightarrow r_0 \Rightarrow \beta'(r_0) < 1$$

- Se define la exoticiad del sistema:

$$\zeta = -\frac{\rho + P_r}{|\rho|} = \frac{2\beta^2}{r|\beta'|} \frac{\beta - r\beta'}{2\beta^2} - \frac{2\alpha'(r - \beta)}{|\beta'|}$$

$$\underset{r \rightarrow r_0}{\Rightarrow} \zeta(r_0) = \frac{2\beta^2}{r|\beta'|} \frac{d^2r}{dz^2} > 0 .$$



Se viola la

Condición de Energía

$$\rho + P_r > 0$$

²Morris, M. S., & Thorne, K. S. (1988). Wormholes in spacetime and their use for interstellar travel: A tool for teaching general relativity. American Journal of Physics, 56(5), 395-412.

Espacio-tiempo con simetría hiperbólica



Fluido autogravitante en simetría hiperbólica.

³ ► Representan una fuente de campo gravitacional.

Elemento de línea en simetría hiperbólica:

$$ds^2 = -e^\alpha dt^2 + e^\beta dr^2 + r^2 d\theta^2 + (r \sinh(\theta))^2 d\phi^2$$

Sustituyendo en ecuación de Einstein: $8\pi T_\mu^\nu = G_\mu^\nu$

$$T_\beta^\alpha = \begin{pmatrix} -\rho & 0 & 0 & 0 \\ 0 & P_r & 0 & 0 \\ 0 & 0 & P_\perp & 0 \\ 0 & 0 & 0 & P_\perp \end{pmatrix}$$

$$8\pi\rho = e^{-\beta} \left(\frac{\beta'}{r} - \frac{1}{r^2} \right) - \frac{1}{r^2}$$

$$m(r) = -\frac{r}{2} R_{232}^3 = \frac{r(1+e^{-\beta})}{2} = -4\pi \int dr \rho r^2$$

$$8\pi P_r = e^{-\beta} \left(\frac{\alpha'}{r} + \frac{1}{r^2} \right) + \frac{1}{r^2}$$

$$8\pi P_\perp = e^{-\beta} \left(\frac{\alpha''}{2} + \left(\frac{\alpha'}{2} \right)^2 - \frac{\alpha'\beta'}{4} + \frac{\alpha' - \beta'}{2r} \right)$$

Manipulando apropiadamente:

$$m' = \frac{1+e^{-\beta}}{2} - \frac{r}{2}\beta'e^{-\beta} = -8\pi\rho$$

$$\frac{2}{r^2}m' = - \left[e^{-\beta} \left(\frac{\beta'}{r} - \frac{1}{r^2} \right) - \frac{1}{r^2} \right]$$

³Herrera, L., Di Prisco, A., & Ospino, J. (2021). Hyperbolically symmetric static fluids: A general study. Physical Review D, 103(2), 024037.

Agujero de gusano en simetría hiperbólica



Ecuaciones del campo en simetría hiperbólica.

El elemento de línea:

4

$$ds^2 = -e^{2\alpha}dt^2 + \frac{dr^2}{\beta(r)/r - 1} + r^2d\theta^2 + (r \sinh \theta)^2 d\phi^2$$

$$T^\alpha_\beta = \begin{pmatrix} -\rho & 0 & 0 & 0 \\ 0 & P_r & 0 & 0 \\ 0 & 0 & P_\perp & 0 \\ 0 & 0 & 0 & P_\perp \end{pmatrix}$$

Las ecuaciones del campo $8\pi T^\nu_\mu = G^\nu_\mu$

$$8\pi\rho = -\frac{\beta'}{r^2}$$

$$8\pi P_r = \frac{2\alpha'}{r} \left(\frac{\beta}{r} - 1 \right) + \frac{\beta}{r^3}$$

$$8\pi P_\perp = \left(\frac{\beta}{r} - 1 \right) (\alpha'' + (\alpha')^2) + \frac{\alpha' (r\beta' + \beta - 2r)}{2r^2} + \frac{(r\beta' - \beta)}{2r^3}$$

Rebanada de espacio

$$ds^2 = \frac{dr^2}{\frac{\beta}{r} - 1} + d\phi^2 r^2$$

Superficie en coordenadas cilíndricas

$$ds^2 = dz^2 + dr^2 + d\phi^2 r^2$$

Incrustamiento

$$\frac{dz}{dr} = \pm \sqrt{\frac{2r - \beta}{\beta - r}}$$

⁴Lobo, F. S., & Mimoso, J. P. (2010). Possibility of hyperbolic tunneling. Physical Review D, 82(4), 044034.



Análisis del agujero de gusano.

- 5 ► Incrustando en una superficie con coordenadas cilíndrica

$$\frac{dz}{dr} = \pm \sqrt{\frac{2r - \beta}{\beta - r}} \implies \boxed{\beta(r_0) = r_0}$$

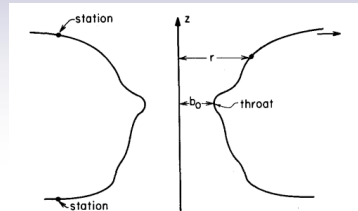
valor mínimo

- Considerando la “flaring out condition”

$$\frac{d^2r}{dz^2} = \frac{r\beta' - \beta}{2(2r - \beta)^2} > 0 \underset{\text{en } r \rightarrow r_0}{\implies} \beta'(r_0) > 1$$

- Se define la exotoxicidad del sistema:

$$\zeta = -\frac{\rho + P_r}{|\rho|} \underset{r \rightarrow r_0}{\implies} \zeta(r_0) = \frac{(\beta'(r_0) - 1)}{|\beta'(r_0)|} > 0 .$$



Condición de Energía

$$\rho + P_r > 0$$

⁵Lobo, F. S., & Mimoso, J. P. (2010). Possibility of hyperbolic tunneling. Physical Review D, 82(4), 044034.



Agujero de Gusano tipo Casimir.

- ▶ Fuerza que actúa en un espacio confinado.
- ▶ fluctuaciones de vacío de un campo.

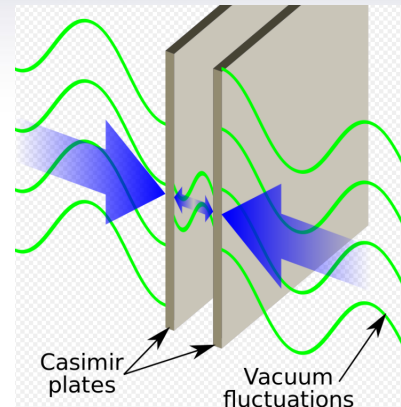
6

$$\Delta E \Delta t \leq \frac{\hbar}{2}$$

Ec. de estado barótropa $\rightarrow P_r(r) = \omega \rho(r)$

Energía $\rightarrow \rho(r) = \frac{-k}{8\pi r^4}$, $k = \frac{8\pi\hbar c\pi^2}{720}$

Efecto Casimir



⁶Garattini, R. (2019). Casimir wormholes. The European Physical Journal C, 79(11), 951.



El corrimiento al rojo:

$$\begin{aligned} P_r &= \frac{1}{8\pi} \left(\frac{\beta}{r^3} + \frac{2}{r} \alpha' \left(\frac{\beta}{r} - 1 \right) \right) = \omega \rho & \frac{\beta'}{r^2} &= 8\pi \rho \\ 7 \quad 8 \quad \Rightarrow \quad \alpha' &= \frac{\omega \rho - \frac{\beta}{r^3}}{\frac{2}{r} \left(\frac{\beta}{r} - 1 \right)} & \Rightarrow \quad \boxed{\beta(r) = k \left(\frac{1}{r_0} - \frac{1}{r} \right) + r_0} \\ &= \frac{1}{2(k - r_0^2)} \left((\omega r_0 + k) \log \left| \frac{1}{r} + \frac{r_0}{k} \right| - (\omega k + r_0^2) \log \left| \frac{1}{r} - \frac{1}{r_0} \right| \right) \\ \Rightarrow \quad \alpha &= \frac{\omega - 1}{2} \log \left| \frac{r(\omega + 1)}{r\omega + r_0} \right|, \quad \omega = \frac{-r_0^2}{k} \end{aligned}$$

La función de forma:

⁷Garattini, R. (2019). Casimir wormholes. *The European Physical Journal C*, 79(11), 951.

⁸Rueda, A., Avalos, R., & Contreras, E. (2022). Construction of a traversable wormhole from a suitable embedding function. *The European Physical Journal C*, 82(7), 605.



Factor de complejidad.

- Descomposición ortogonal del Tensor de Riemann.

$$R_{cd}^{ab} = C_{cd}^{ab} + R_{[c}^{[a} \delta_{d]}^{b]} + \frac{R}{3} \left(\delta_{[c}^a \delta_{d]}^b - 2 \delta_{[c}^{[a} \delta_{d]}^{b]} \right)$$

- $Y_{ac} = R_{abcd} V^b V^d$

- El factor de Complejidad en Simetría hiperbólica. ^{9 10}

Fluido homogéneo
e isótropo

$$Y_{TF} = 0$$

$$\begin{aligned} Y_{TF} &= \frac{4\pi}{r^3} \int_{r_0}^r d\underline{r} r^3 \underline{\rho}' - 8\pi\Pi \\ &= \left(\frac{\beta}{r} - 1 \right) \left(\alpha'' + (\alpha')^2 \right) + \frac{\alpha'}{r} \left(\frac{\beta'}{1} + \frac{3\beta}{2r} + 1 \right) + \frac{r_0 \beta'(r_0) - 3\beta(r_0)}{2r^3} \\ Y_{TF} &= \frac{4\pi}{r^3} \int_{r_0}^r d\underline{r} r^3 \underline{\rho}' - 8\pi\Pi \underset{\omega=3}{=} \frac{r_0 (-2r^2 - 14/3rr_0 - 2/3r_0^2)}{r^4 \cdot (3r + r_0)} \end{aligned}$$

⁹Herrera, L., Di Prisco, A., & Ospino, J. (2021). Hyperbolically symmetric static fluids: A general study. *Physical Review D*, 103(2), 024037.

¹⁰Rueda, A., Avalos, R., & Contreras, E. (2022). Construction of a traversable wormhole from a suitable embedding function. *The European Physical Journal C*, 82(7), 605.



Soluciones con complejidad similar.

- ▶ Se propone un factor de complejidad generalizado ¹¹

$$Y_{gTF} = \frac{r_0 \cdot (a_1 r^2 + a_2 r r_0 + a_3 r_0^2)}{r^4(c_0 r + r_0)} + \frac{1}{2r^3} (r_0 \beta'(r_0) - 3\beta(r_0))$$

- ▶ Se propone una generalización del corriemiento al rojo:

$$\alpha(r) = \log \left| \frac{c_0 r}{c_0 r + r_0} \right|$$

- ▶ Se calculan las funciones de forma equivalentes:

$$Y_{TF} = \left(\frac{\beta}{r} - 1 \right) (\alpha'' + (\alpha')^2) + \frac{\alpha'}{r} \left(\frac{\beta'}{1} + \frac{3\beta}{2r} + 1 \right) + \frac{r_0 \beta'_0 - 3r_0}{2r^3} = Y_{gTF}$$
$$\implies \beta(r) = -\frac{a_0 c_0 r_0}{2} - \frac{a_0 r_0^2}{2r} - \frac{r_0}{c_0}, \text{ donde } \begin{cases} a_2 = 2a_1 c_0 - \frac{7}{2} a_0 c_0^2 \\ a_1 = \frac{3}{2c_0} + \frac{7}{4} a_0 c_0 \end{cases}$$

¹¹Rueda, A., Avalos, R., & Contreras, E. (2022). Construction of a traversable wormhole from a suitable embedding function. The European Physical Journal C, 82(7), 605.

Resultados



Condiciones de atravesabilidad

- ▶ Valor mínimo en la garganta:

$$\beta(r_0) = r_0 \implies a_0 = -\frac{2}{c_0}$$

- ▶ Flaring out condition:

$$\beta'(r_0) > 1 \implies c_0 < -1$$

- ▶ Finalmente la función de forma general:

$$\beta_g(r) = -\frac{a_0 c_0 r_0}{2} - \frac{a_0 r_0^2}{2r} - \frac{r_0}{c_0} \rightarrow \boxed{\beta_g(r) = r_0 + \frac{r_0}{c_0} \left(\frac{r_0}{r} - 1 \right)}$$

- ▶ La aceleración experimentada por el viajero cumple:

$$a_r = \left| \varepsilon^1 \left(\left(\frac{\beta(r)}{r} - 1 \right) \left(\alpha'' + (\alpha')^2 - \frac{\alpha'}{2r(\beta(r)-r)} (r\beta' - \beta) \right) \right) \right| \leq \frac{g_{\oplus}}{c^2}$$

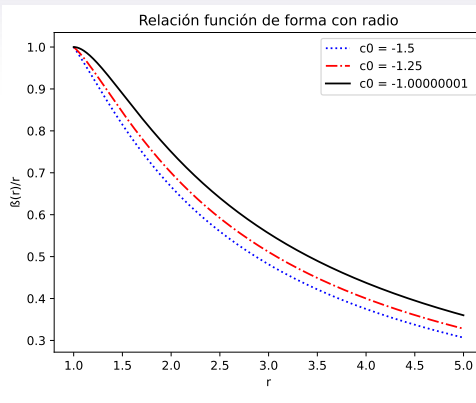
$$a_t = \left| \frac{\gamma^2 \varepsilon^2}{2r^2} \left(v^2 \left(\beta' - \frac{\beta}{r} \right) + 2r\alpha' (\beta - r) \right) \right| \leq \frac{g_{\oplus}}{c^2}$$

$$\implies \boxed{\alpha'(r_0) \leq \frac{2r_0 g_{\oplus}}{\varepsilon_1 (\beta'(r_0) - 1)}} , \quad \boxed{(\gamma v)^2 \leq \frac{2r_0^2 g_{\oplus}}{\varepsilon_2 (\beta'(r_0) - 1)}}$$

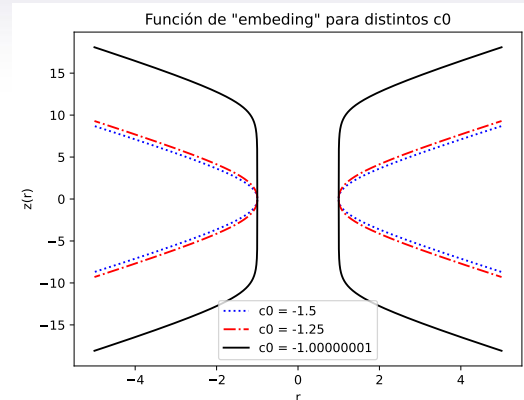


Incrustamiento en coordenadas cilíndricas

► Relación $\frac{\beta(r)}{r}$



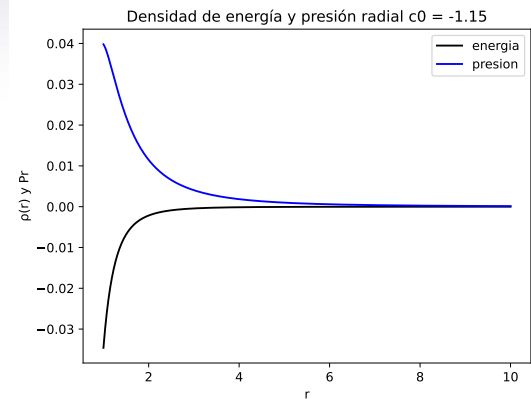
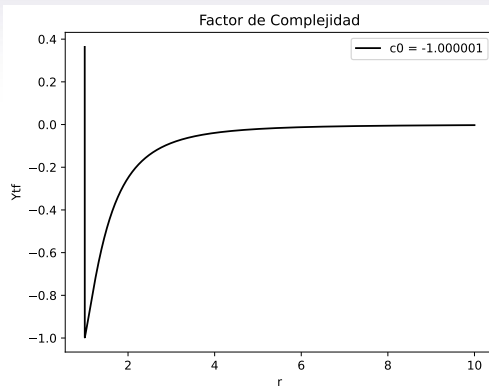
► “Embeding” $\frac{dz}{dr} = \pm \left[\frac{2r - \beta(r)}{\beta(r) - r} \right]^{\frac{1}{2}}$





Complejidad y exotичidad

- ▶ Factor de complejidad
 - ▶ Densidad de energía y presión



Conclusiones



- ▶ La materia exótica es indispensable en la garganta del agujero de gusano.
- ▶ La solución se caracteriza con un solo parámetro como consecuencia de la generalización del corrimiento al rojo en el agujero de Gusano tipo Casimir.
- ▶ Se probó que la densidad de energía siempre es negativa y la presión radial siempre es positiva en la garganta. Esto es contrario al resultado obtenido en simetría esférica donde la densidad de energía es negativa en una pequeña región.
- ▶ Como consecuencia de utilizar simetría hiperbólica, la garganta conecta dos regiones que no tienen que ser asintoticamente planas.
- ▶ El factor de complejidad tiene su valor máximo valor en la garganta producto de violar la condición de energía débil.

Referencias



References

1. Morris, M. S., & Thorne, K. S. (1988). Wormholes in spacetime and their use for interstellar travel: A tool for teaching general relativity. *American Journal of Physics*, 56(5), 395-412.
2. Visser, M. (1995). *Lorentzian Wormholes. From Einstein to Hawking*. Woodbury.
3. Herrera, L., Di Prisco, A., & Ospino, J. (2021). Hyperbolically symmetric static fluids: A general study. *Physical Review D*, 103(2), 024037.
4. Lobo, F. S., & Mimoso, J. P. (2010). Possibility of hyperbolic tunneling. *Physical Review D*, 82(4), 044034.
5. Rueda, A., Avalos, R., & Contreras, E. (2022). Construction of a traversable wormhole from a suitable embedding function. *The European Physical Journal C*, 82(7), 605.



<http://laconga.redclara.net>



contacto@laconga.redclara.net



lacongaphysics



Latin American alliance for
Capacity buildiNG in Advanced physics

LA-CoNGA physics



Cofinanciado por el
programa Erasmus+
de la Unión Europea

El apoyo de la Comisión Europea para la producción de esta publicación no constituye una aprobación del contenido, el cual refleja únicamente las opiniones de los autores, y la Comisión no se hace responsable del uso que pueda hacerse de la información contenida en la misma.